

138971

基本館藏

高等学校教学用書

电力鉄道机車車輛

第三卷 下冊

Б·Н·齊赫梅聶夫 合著

Л·М·特拉贊特曼



人民鐵道出版社



高等學校教學用書
電力鐵道機車車輛
第三卷 下冊

Б·Н·齊赫梅茲夫 合著
Л·М·特拉賓特曼
唐山鐵道學院杜慶萱等譯

人民鐵道出版社
一九五七年·北京

本冊系根据苏联国家铁路运输出版社一九五一年出版之 Б.Н. 蒂赫梅内夫及 Л.М. 特拉普特曼所著之「电力鐵道机車車輛」第三卷第二編譯出，本卷譯本分上下兩冊出版，其他各卷譯本將陸續分冊出版。原書共分三卷，並經苏联高等教育部批准为高等学校之教材参考書。

本冊系交流电力鐵道机車車輛部分，內容叙述整流子电动机的电力机車和摩托車輛，單相-直流变流器的电力机車和異步电动机的电力机車的構造、原理、电路，以及其附屬設備等。

本冊可供高等学校电气运输系之教材，电气化鐵道工程师、技术員及从事矿山电力鐵道的技术人員之業務参考。

本冊系由唐山鐵道学院电气运输系杜庆萱、赵玖、何高蒙、荣德善等合譯。

電力鐵道机車車輛 第三卷 下冊

ПОДВИЖНОЙ СОСТАВ ЭЛЕКТРИЧЕСКИХ
ЖЕЛЕЗНЫХ ДОРОГ

Б.Н. ТИХМЕНЕВ 合著
苏联 Л.М. ТРАХТМАН

苏联國家铁路运输出版社（1951年莫斯科俄文版）

TRANSCHELDORIZDAT Москва 1951

唐山鐵道学院杜庆萱等譯

責任編輯 周士鍾

人民鐵道出版社（北京市霞公府17号）

北京市書刊出版業營業許可證出字第010号

新华書店發行

人民鐵道出版社印刷厂印

（北京市建國門外七聖廟）

書號：868 开本：787×1092 $\frac{1}{16}$ 印張 6 1/2 字数143千

1957年12月第1版

1957年12月第1版第1次印刷

印数0001—1,000册 定价(10) 0.95元

目 錄

第二編 交流電力鐵道機車車輛

第七章 具有整流子電動機的電力機車和摩托車輛

I.	開動和速度調節	4
§ 1.	串激整流子電動機的向量圖和開動特性	4
§ 2.	變壓器分級的決定	8
II.	電壓調節線路	10
§ 3.	具有轉換變阻器的線路	11
§ 4.	具有分壓線圈的線路	13
§ 5.	具有昇壓變壓器的線路	18
§ 6.	高電壓邊的控制	21
III.	電氣制動	22
§ 7.	變阻制動	22
§ 8.	再生制動	25
IV.	控制系統	33
§ 9.	具有直接傳動的系統	33
§ 10.	個別接觸器的控制線路	36
§ 11.	組合控制系統	38
V.	保護器械	42
§ 12.	保護系統	42
§ 13.	油斷路器	43
§ 14.	空氣斷路器	44
§ 15.	膨脹式斷路器	45
§ 16.	高壓保安熔斷器	46
§ 17.	接地接觸器和受電弓架繼電器	46
VI.	變壓器	47
§ 18.	油變壓器	47
§ 19.	干式變壓器（無油的變壓器）	49
VII.	輔助電路	50
§ 20.	輔助電機	50

§21. 採暖	52
§22. 照明	53

第八章 具有單相 直流變流器的電力機車

I. 具有电动-發电机的电力机車	54
§ 1. 概論	54
§ 2. 电动-發电机电力机車的線路和速度調節	55
§ 3. 电动-發电机电力机車的主要線路和控制線路	59
II. 具有靜止變流器的电力机車	62
§ 4. 概論	62
§ 5. 水銀整流器的單相整流	63
§ 6. 水銀整流器电压的調節	66
§ 7. 脉動电压下牵引电动机的工作	73
§ 8. 电气制動	74
§ 9. 柵桿控制線路	76
§10. 具有水銀整流器的試驗电力机車的線路	78

第九章 具有異步电动机的电力机車

§ 1. 概論	81
I. 具有異步电动机的电力机車的开动和速度調節	82
§ 2. 变阻开动	82
§ 3. 开动变阻器	86
§ 4. 电动机串級联接	88
§ 5. 極數的轉換	89
II. 換相机	94
§ 6. 分相机	94
§ 7. 匈牙利鐵道电力机車上的換相机	100
§ 8. 具有換相机的匈牙利鐵道电力机車	108

第二編 交流電力鐵道機車車輛

苏联电力铁道上所採用的直流系統的特点是高度的运转可靠性与良好的牽引特性。

除此以外，它對於时常开动並具有很高加速度的摩托車輛來說也是最安全的与經濟的。因此，就極易解决幹線与市郊运输的电气化区段上規定單一的电流与电压系統的問題。

苏联直流電力机車車輛的線路圖与構造是在苏維埃科学家与設計者的無比的力量下創造出来的。祖国直流電力机車車輛的高度运转質量，通过苏联铁路电气化区段在各种不同的气候条件和在很高的运输强度下安全运行的長期經驗而得到了驗証。

直流系統的缺点是：电網电压比較低，因而必需設置密集的牽引变电所与沉重的接触網设备，以及因牽引电动机採用变阻开动而使速度的經濟调节范围受到限制。

在个别外国国家铁路电气化区段採用交流供电系統。交流系統允許採用較高的接触導線电压（实用上可达到22千伏）並可在广阔的范围内对电动机利用經濟的（变压器的）速度調節。

但現已掌握的交流系統都具有主要的缺点，由於这些缺点在苏联宁願採用直流系統而不採用交流系統。

在电力机車上具有整流子电动机的單相低頻交流系統得到了最广泛的应用。

后面將要談到採用 $16\frac{2}{3}$ 或25赫芝的低頻率以代替50赫芝的标准工業頻率就必需要限制交流整流子牽引电动机的重量与尺寸並簡化其構造。

但是为了得到低頻率需要建立变换电站，而牽引負荷与一般工業負荷由一个供电系統来供电亦有困难。除此之外，就牽引电动机的整流稳定性來說，这种系統亦比直流系統遜色。

铁路电气化区段最簡單的供电系統，是接触導線採用單相标准頻率交流电。

由於具有很好技术經濟指标的，和在整流方面簡單可靠的标准頻率的牽引电动机制作上的困难，这种系統的發展現在已經滯後了。

苏联科学研究院通訊院士M.I. 克斯琴科和O.B. 别涅节克特教授的工作在这方

面开辟了一定的远景。

由标准频率单相交流供电的电力机车可以配合采用直流电动机。直流电动机的整流特性比交流电动机的整流特性要好些，而且和运行速度没有多大的关系。

电力机车上从交流到直流的转换可以借水银整流器或电动发电机组来实现。

由于电力机车上变流装置复杂及成本昂贵，单相直流系统到现在还没有获得大大的推广。

苏联近年来在离子变流器技术方面的發展，为制造高度技术經濟指标的单相-直流干线电力机车，创造了必要的先决条件，因而展开了在苏联采用标准频率交流电的远景。

在前一世紀的末叶，由於 M.O. 多里沃-多布罗夫斯基發明了三相电动机，三相交流电系統开始發展起来。

三相異步电动机构造简单，运用十分可靠，单位功率的重量較小，而且轉換到再生状态非常简便，就这几方面來說这种电动机作牽引之用，是非常合适的。

但直到現在，由於速度調节上的困难和电机的特性曲線較硬（作牽引之用就很不方便）使这种电动机在电力机车上广泛採用受到阻碍。

此外，三相电动机直接由电网供电需要裝有兩根接触导線的设备，它使电力铁道的供电复杂化，成本提高，并且还限制了电网的容許电压，这样就不可能充份利用交流电的优点。

虽然三相交流系統採用标准频率是可能的，但大多数現有的铁路線均採用由特殊电站供給的低頻电流。

在三相系統發展的初期，採用低頻是企圖減少电网中的电抗电压降，並在电力机车上採用低速电动机直接用連桿傳动。此时，通常在电力机車上裝置了一部或兩部由組合傳動和电力机車輪軸相聯的电动机。

由於上述缺点，三相接触網系統在技术上已經是过时的，从前已有的三相系統也被其他更近代化的电流和电压系統所代替。例如在意大利三相系統最初已得到很大推广，但以后逐渐为电压3000伏的直流系統所代替。

为了在利用三相牽引电动机时，消除双导線交流电网设备上的不便，拟制了各种型式的单相-三相电力机車，將接触导線上的标准频率單相电流轉变为三相电流以供給牽引电动机。

这种变换可以借分相机或换相机来实现。

在匈牙利的电力铁道上，当接触导線為标准频率的單相电流时，毫無例外地採用了帶有肯都系統換相机的电力机車。現有的單相-三相电力机車的缺点是必須在电力机車上裝置复杂的旋轉变流机。

在电力机車上轉換單相电流为三相电流或兩相电流也可以按照科学院上 B.C. 庫列巴金於1934年所建議的系統用靜定的电容器來实现。但對於巨型电力机車來說这种系統的技术經濟指标还没有充分的予以研究。

在频率调节下变单相电流为三相电流（三相电流供给电动机）的离子变流器已经给採用三相电动机的系統展开了广阔的远景。

应当指出 标准频率單相系統的共同缺点是：交流对通信線路与自动閉塞的影响，因而它們必需要有特殊的保护；以及單相牽引負載所造成的初級三相電網負載的不对称引起配電網，变压器及發电机內的額外損失。

以上所述，說明目前已掌握的各种交流系統在决定性的技术經濟优越性方面，並沒有超过苏联所採用的十分现代化而且又安全可靠的电压3000伏的直流系統，故标准频率交流系統的运用只有在制造出新型的电力机車和摩托車輛的基础上才有可能。

除了研究直流电力机車車輛，同时再研究現有的交流电力机車車輛电气設備的構造和線路圖，對於如何解决这个重要問題是会有很大帮助的。

第七章 具有整流子电动机的电力 机車和摩托車輛

I. 开动和速度調節

§1. 单激整流子电动机的向量圖和开动特性

加在單相单激整流子电动机兩端的电压 U (圖 391) 是被电动机繞組中下列的电动势和电压降的几何总和所平衡的:

- (1) 由於电樞导体切割激磁磁通 Φ_a 在电樞繞組中感应的旋轉反电动势 E_a ;
- (2) 电动机繞組中的有效电压降

$$I (r_a + r_n),$$

式中: r_a — 激磁繞組 B 的有效电阻;

r_n — 电樞繞組, 补偿繞組 K 以及附加極繞組的有效电阻;

- (3) 在激磁繞組中由於磁通 Φ_a 的振动所感应的自感电动势 E_B ;

- (4) 电动机繞組的漏磁所引起的电抗电压降,

$$I (x_a + x_n),$$

式中: x_a — 激磁繞組的电抗;

x_n — 电樞繞組、附加極繞組和补偿繞組的电抗。

圖 392 表示电动机的向量圖。在作該向量圖时假定电动机的铁耗和整流損耗等於零, 因此激磁磁通 Φ_a 和电流 I 同相❶。

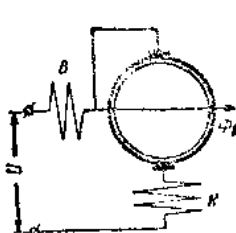


圖 391

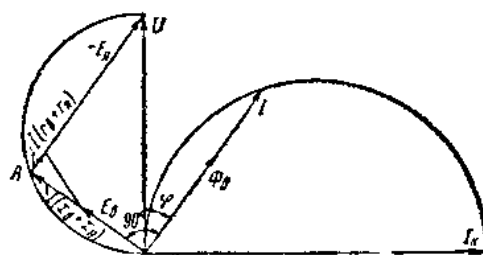


圖 392

在激磁繞組中由於磁通 Φ_a 的振动所感应的电动势 E_a 在相位上是滯 Φ_a 后 90° ;

❶ 为了使向量圖简化, 在以后所有的叙述过程中照例都採用这个假定。

电抗电压降 $I(x_a + x_s)$ 是超电流向量前 90° ；有效电压降 $I(r_a + r_s)$ 是和电流向量同相，而旋转电动势 E_a 是激磁磁通 Φ_a 之后 180° 。

在向量图中作出了 E_a 与 E_s 的负值，也就是给出了用来克服这些反电动势的电压 U 的分量。上列向量的几何总和在数值和相位上都正好等于电动机的端压。

在固定的电动机端压下，向量图随速度的改变而按照圆周变化。如速度增加则旋转电动势 E_a 随之增加，但向量 $-E_a + I(r_a + r_s)$ 和向量 $-E_a + I(x_a + x_s)$ 间的角度始终保持等于 90° 。因此这时 A 点是沿着以向量 U 为直径的圆弧而滑动。

电流 I 的向量是与电动机中的电抗电压降向量 $-E_a + I(x_a + x_s)$ 成正比变化的（如果电动机是在磁化曲线的直线部分上工作），但在相位上仍滞后电抗电压降 90° ，即当转速改变时向量 I 的端点的轨迹为一圆周，这个圆周的直径是向量 I_k 。向量 I_k 滞后 $U 90^\circ$ 且等于：

$$I_k = \frac{U}{X_a + x_a + x_s}, \quad (217)$$

式中： $X_a = \frac{E_a}{I}$ — 主磁通 Φ_a 所引起的激磁绕组的电抗。

由圆周可知，旋转电动势 E_a 随着电流的增加而减少。

电动机的转速

$$n = c \frac{E_a}{\Phi_a}. \quad (218)$$

因此当电动机电流增加时转速就降低，因为在此同时 E_a 减少而 Φ_a 增加。反之电流减少，则转速增加，並当 $I=0$ 时速度就成为无穷大，因为此时 $\Phi_a=0$ 。

由此可见，单相串激整流子电动机的速度特性曲线是和直流串激电动机的速度特性曲线相似的。这两种电动机的转矩特性曲线也是相类似的。

$$M \propto I(\Phi_a), \quad (219)$$

而对于具有不饱和磁系统的电动机来说

$$M \propto I^2. \quad (220)$$

图 392 中的圆周将 E_a , Φ_a 和 I 等数值有规律地彼此联系起来。这些数值决定电动机的转速 n 和转矩 M 或者说归根到底最后是决定电力机车（或摩托车）的速度和牵引力。

按照不同的规律（由铁路上列车控制的条件决定）改变牵引力与速度是借电动机端压的调节来实现的。

这种调节方法也用在列车加速与起动时，这时速度增加而牵引力必须保持差不多固定不变并足够使列车能以低加速度运转。

因为激磁磁通的数值决定于电动机电流 I ，所以根据方程式 (219) 就可以做出结论，那就是为了要保持固定的转矩，因之也就是固定的牵引力，必要而且充分的条件是使 $I = \text{常数}$ 。为了达到这个要求，在速度增加时必须不断地提高电动机的

端压。

速度和端压間的关系可用开动向量圖 393 来解釋。当 $I = \text{常数}$ 时旋转电动势 E_a 与速度成正比，因而在开动圖中用了某种比例尺旋转电动势 E_a 也可表示开动期內的速度。

由向量圖可知，当起动时即当 $v = 0$ 时，端压應該有最小值並且等於

$$U_o = IZ_k,$$

式中： $Z_k = \sqrt{(X_a + x_a + x_g)^2 + (r_a + r_g)^2}$ —— 电动机繞組的全部阻抗。

随着速度的增加就應該增加 U ，同时向量 U 的端点是沿着和电压 E_a 方向相重合的直線而滑动的。在这种电压 U (U 以 E_a 和与 E_a 相关的速度改变为函数) 的变化規律下，电动机电流將保持不变。

在交流电力机車和摩托車輛上，电动机电压的調節較直流电力机車車輛簡便和完善，这是由於交流电力机車和摩托車輛上具有变压器，它可將接触导線上的高压降低到电动机的工作电压。近代整流子牽引电动机的工作电压为 500~700 伏。

为此，变压器的次級繞組备有許多抽头，而將电动机由变压器的一級轉換到另一級來調節电压。

当採用这种調節方法时，每一速度級都是經濟速度級，同时無需进行电动机的組合轉換。

因此，与直流电力机車比較，單相交流电力机車有以下的优点：

- ① 無变阻开动；
- ② 經濟速度級數目很多；
- ③ 線路簡單，無电动机的組合轉換；
- ④ 接触器的数量较少。

用整流子电动机的單相交流电力机車的缺点是当起动时和在低速度范围内运行时保持整流条件很困难。

大家知道，直到現在还没有一个方法能完全补偿电枢繞組的整流圈匝內磁通 Φ_a 漏感而产生的变压器电动势，因而使整流大大地惡化。在現代的电动机中为了补偿这个电动势利用了附加極，除此以外附加極还能补偿电抗电动势。然而电抗电动势 e_x 和变压器电动势 e_t 不是同相的，而且它们的数值大小又与电动机的轉速有不同的关系。

如在直流电机中一样，由於电枢繞組整流圈匝內电流的改变而产生的电抗电动势，在相位上是和电枢电流同相，而在数值上是和整流时间成反比，也即与电动机轉速成正比。变压器电动势在相位上滞后於产生它的磁通 Φ_a 90° ，因而也就滞后电

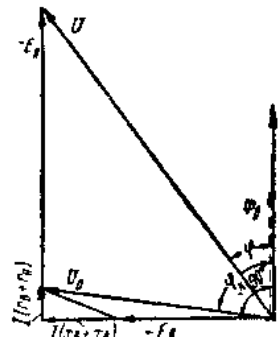


圖 393

流 I 为 90° , 而和电动机的轉速無关。

現在已知的补偿这些电动势的各种方法都仅能在規定的电动机轉速下当 e_t 和 e_s 有一定的比例时达到补偿的目的。这些方法在牵引电动机上用得最广泛的一种是用欧姆电阻来將附加極分路(圖394)。

当採用了分路电阻后，在附加極中的电流 I_s 就滞后电动机电流 I 某一个角度(圖395)，因而在整流地帶内产生了一个和电流 I_s 同相的磁通 Φ_s 。当电樞轉動时在整流圈匝内就感应出一个整流电动势 e_s ，整流电动势分解为 e_{ks} 和 e_{kt} 两个分量。分量 e_{kt} 和变压器电动势相位上相反而分量 e_{ks} 和电抗电动势反相。

在一定的电动机轉速情况下，可以这样来选择磁通 Φ_s 使分量 e_{kt} 和 e_{ks} 在数值上与 e_t 和 e_s 相等，也就是说将它们完全补偿。电动势 e_t 和 e_{ks} 都是与速度成正比而变化的，因而这也就是說当任何轉速时电抗电动势都能够被补偿。分量 e_{kt} 也与速度成正比，但是 e_t 却与速度無关並在指定的电动机負載下保持固定不变。

圖396 表示当負載不变时($I = \text{常数}$)这些电动势对速度的关系圖。电动势 e_{kt} 仅在速度为 v_1 时才和 e_t 相等；当 $v < v_1$ 时 $e_{kt} < e_t$ 因而就不能完全补偿 变压器 电动势；当 $v > v_1$ 时， $e_{kt} > e_t$ ，也就是过补偿了。很明显的， e_t 与 e_{kt} 之差 ($e_t - e_{kt} = \Delta e_t$) 的絕對值愈大，整流条件就愈困难。

当起动时 $v = 0$ ， $\Delta e_t = e_t$ 即此时变压器电动势不能被补偿。这个情况就迫使我們在設計电动机时要使 e_t 在起动时不超过某一个最大值，但根据整流子和电刷的工作条件在短时內还是許可的。

变压器电动势的大小可用以下公式来表示

$$e_t = \frac{2\pi}{\sqrt{2}} f w_k \Phi_0 10^{-6},$$

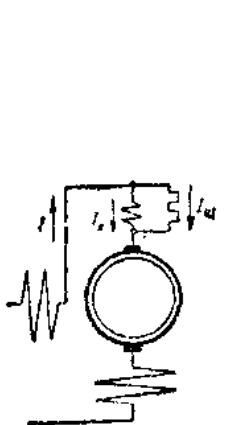


圖 394

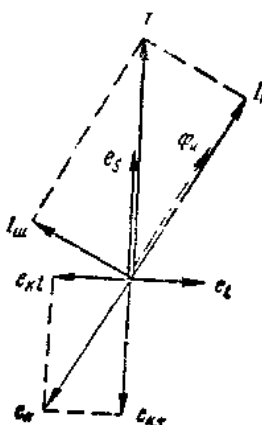


圖 395

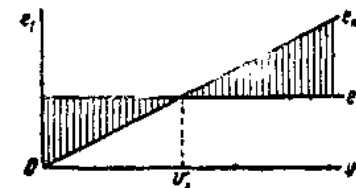


圖 396

式中 f ——交流电流的频率；

w_k ——整流元件的匝数。

因此可以用降低交流电流频率的方法来减少 c_r 。

既然 c_r 和电动机一个磁极的磁通数值成正比，那末在一定的频率下就可以用增加磁极的数目或者电动机转速的方法来减少 c_r 。在近代的电动机中是两种方法混合使用的。在变压器的高压级上提高转速就使电力机车在小时牵引情况下的速度大大提高；当最大电动机端压时，小时情况的速度可达电力机车最大速度的 0.8 ~ 0.9。

通常对于电力机车来说是习惯将小时情况的额定功率归算到 $v=0.7v_{max}$ 的速度上。如所周知，直流电力机车小时情况的速度当满磁场时 $0.5 \sim 0.6v_{max}$ 而若用削弱磁场的办法来提高速度的话那末同时也就相应地减少了小时情况的牵引力。

上述速度的关系是具有单相整流子电动机的电力机车的极重要的优点，因为它能提高运行速度，特别是在上坡的时候。

单相整流子电动机除了极数较多，构造复杂外，它的特点是开动时或低速范围内整流不能令人满意，这就迫使我们要限制起动的时间也即从电力机车接通时起到机车起步后止（在较大的开动牵引力时为 5 ~ 10 秒）的时间，以及限制在低速范围内运行的时间。这是单相整流子电动机的电力机车的主要缺点，特别是对于货运电力机车来说尤其显著。

有时为了改善整流，开动时利用磁场的削弱。这时为了得到足够的开动牵引力，磁场的削弱是以电流相应的加大来补偿的。

§2. 变压器分段的决定

只有根据图 393 的开动图在连续而又均匀地调节电压的条件下才可能得到电动机电流不变的开动情况。虽然这种要求是十分可能而且在某些电力机车上实际上已经做到了，然而最常见的还是较简单的分段电压调节。将电动机换接到变压器分成段的次级绕组的不同头上即可做到这种调整。这种控制方法的最简单的线路表示在图 397 上。

当采用电压分段调节时，变压器各分段应根据开动电流在选定的 I_{max} 和 I_{min} 范围内摆动（如同在直流电动机变阻开动时一样）的原则来计算。

图 398 表示决定变压器各分段的向量图。 $\triangle AOB$ 是当电动机没有转动而电流为 I_{min} 时的电压向量图，而 $\triangle COD$ 是同样情况下而电流为 I_{max} 时的电压向量图。如果在电压作均匀调节而电流 I_{min} 不变的情况下进行开动，那末向量 U 的端点应该是沿着直线 BB' 而滑动，而在电流为 I_{max} 时就沿着直线 DF 移动。将电压 U_1 加在一个还没有转动的电动机上，在起始瞬间就确定了电流 I_{max} ，此后电动机开始旋转而在它的电枢内就产生了旋转电动势 E_s 。 E_s 随着速度的增加而增加，而电流就减少；此时向量 U 的端点沿着 CG 弧而移动。用向量 U 画出来的圆弧与直线 BB' 相交在

G 点上，这就表示电流已减少到 I_{min} 。随后就必须提高一些电压使电流重新增加到 I_{max} 。向量 I ($X_s + x_s + x_g$) 和 $-E_g + I \cdot r_s + r_g$ 此时就随着电流增加而正比例地增加，而新的电压向量图就用 $\triangle DOH$ 表示。这个三角形的 OH 边就是新的电压值 $U = U_2$ 也即变压器第二分級的电压，而 ΔU_2 是从第一級轉換到第二級时的电压增量。当速度繼續增加时第二分級电压向量的端点就沿着新的圓弧 HK 而移动，并在 K 点

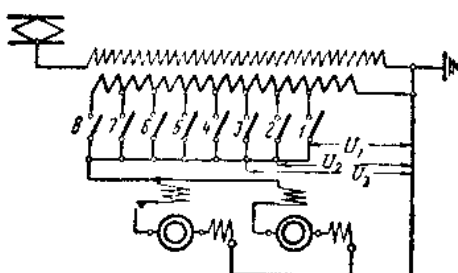


圖 397.

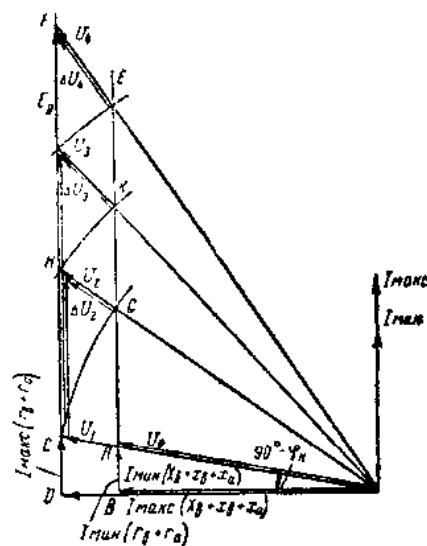


圖 398

上电流又重新減少到 I_{min} ，再往后又必须轉換到变压器的下一个第三分級电压 U_3 上。依此类推，直到 U 达到最大值。

为了要繪出开动圖，必須要知道电动机全部繞組的总阻抗 Z_k 和电动机短路时的 $\cos \varphi_k$ 。如果这些数值为已知，那末 $\triangle DOC$ 就可以根据数值

$$U_1 = I_{max} Z_k$$

和 φ_k 角而画出，然后就可以画出直線 DF 。直線 BE 可任意由 A 点或 B 点来决定。 A 点是向量 $U_o = I_{min} Z_k$ 的端点。 U_2 ， U_3 等可由前面已經說明了的几何圖形中找到。

圖 398 上的向量圖只有在电动机磁化曲綫的直綫部份才是正确的，这时激磁磁通 Φ_s 和电流成正比。实际上开动通常总是在磁化曲綫弯曲部分的范围内进行的，这时电流和磁通間的关系就不是正比的关系。除此之外，在这种負載的范围，激磁繞組的电抗数值 X_s 也是不固定的。实际上，自感电动势：

$$IX_s = 4.44 f w_s \Phi_s \cdot 10^{-8},$$

由此可得：

$$X_s = 4.44 f w_s \frac{\Phi_s}{I} \cdot 10^{-8}, \quad (221)$$

也就是说在磁化曲綫的弯曲部分范围内 X_s 减少，因为由於饱和的关系使比例 $\frac{\Phi_s}{I}$ 减少。

因此，在这种情况下电流 I_{min} 和 I_{max} 的短路三角形将不是相似的。为了要繪出开动圖就必须知道在两个电流值 I_{min} 和 I_{max} 时的 Z_k 和 $\cos \varphi_k$ 。根据这些数值就可以画

出短路三角形: $\triangle AOB$ —电流为 I_{max} , $\triangle COD$ —电流为 I_{make} (圖399), 同时也可画出电动机端压为 U_s 时同样这两个电流数值的向量圖, 設在端压为 U_s 时的电动机的速度特性曲線 (圖400) 为已知。綫段 CF 就以适当的比例尺表示当电流为 I_{make} 和根据速度特性曲線速度为 v_1 时的旋轉电动势 E_s^* , 而綫 AG 是表示当电流为 I_{max} 和根据同一特性曲線速度为 v_2 时的 E_s^* 。

电流为 I_{max} 和速度为 v_1 时的旋轉电动势等於

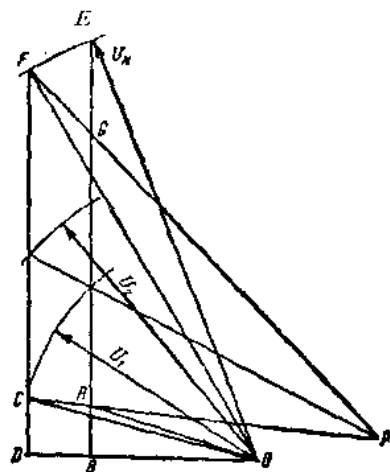


圖 399

$$E_s^* = E_s^* \frac{v_1}{v_2}$$

並在向量圖上它是用下面的綫段來表示的

$$AG = \overline{AE} \cdot \frac{v_1}{v_2}$$

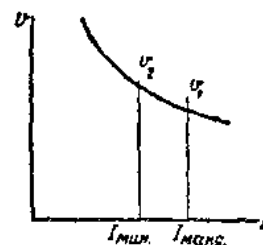


圖 400

因此在向量圖上可以找得綫段 CF 和 AG , 它們表示在同一速度下兩個電流極限值時的旋轉电动势。显然, 任何別的速度下的旋轉电动势將可用与 CF 和 AG 綫段成正比的綫段来表示。如果經過 F , G 点和 C , A 点画直綫而在 P 点相交, 那末任何經過 P 点的直綫將在直綫 CF 和 AG 上截取出綫段而这些綫段是和 CF 与 AG 成正比的。因此在繪制开动圖时根据电流为 I_{max} 时已知的 E_s 数值利用 P 点可找得电流为 I_{make} 时的 E_s 。繪开动圖的步驟可以由圖399中很明显地看出。

可以遵循选择直流电力机車車輛和摩托車輛調車級的同样的原理来選擇調車級 (參閱上冊第31頁)。

从圖398 中可看出, 开动时电流固定在 I_{max} 和 I_{make} 的范围内需要用許多不均匀的电压分級, 各分級間的电压差应随着速度的增加而增大。制造这种变压器会遇到構造上的困难, 因为变压器的次級繞組匝數不多。因此通常就制造各分段中有相同的匝数而电压級均匀的变压器。在这种情况下, 开动过程中电流的摆动減少。

II. 电压調節纜路

最簡單的电压分級調节纜路 (圖397) 在实际应用方面是行不通的, 因为在这

種線路中，不可能做到從一級轉換到次一級時不切斷主線路或不使變壓器的分段短路。

視轉換方法之不同，線路可分為具有歐姆轉換電阻（轉換變阻器）的線路，具有轉換電抗或所謂分壓線圈的線路，以及具有昇壓變壓器的線路。

除轉換方法外，當變壓器的出頭數為一定和主線路接觸器數目也為一定時，線路還可根據調節分級的級數來區別。因為變壓器附加出頭使它的構造大為複雜，因此力求在最少數的出頭下得到最多的調節分級數。除了減少接觸器的數目外，還採用這樣的調節線路，使電動機的總負載分配在某幾個同時閉合的接觸器上。這種型式的線路特別適用於大功率的電力機車，在這種電力機車中電動機的總電流要達到幾千安。

在高壓邊進行調節的系統內可以做到使操作負載大為減低。

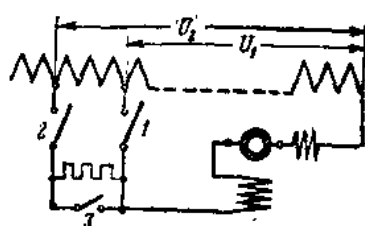
從許多種不同的變形調節線路中我們來研究幾種主要的形式。

§3. 具有轉換變阻器的線路

在圖 401 所示的線路圖中，說明了用轉換電阻（變阻器）的轉換方法。從接觸器閉合表中可看出，轉換過程中沒有切斷電路，而且變壓器分段是用轉換電阻短接的。在一定的轉換電阻 r 下，轉換過程中就無時發生電流減少到低於最小值。

圖 402 表示出全部轉換過程的向量圖： $\triangle AOB$ 相當於轉換前 ($U = U_1$ 和 $I = I_{max}$) 的電壓向量圖； $\triangle AOE$ - 第二級的電壓向量圖，此時加在電動機電路上的電壓為 U_2 ，但因為串聯了電阻 r ，故電流仍等於 I_{max} ；最後， $\triangle COD$ - 沒有轉換電阻的 U_2 電壓級，並且在轉換的同時電流就衝擊到 I_{max} 。由向量圖中看出，如果

$$rI_{max} = \Delta E_s,$$



變壓器級	閉合的接觸器
U_1 級	1
轉換級：	1 与 2 2
U_2 級	2 与 3

圖 401

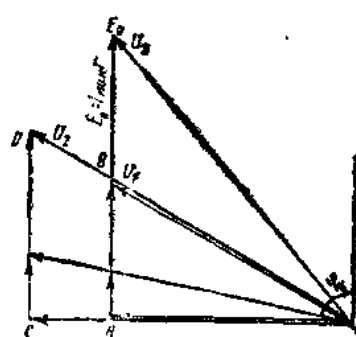


圖 402

也即

$$\tau = \frac{\Delta E_s}{I_{max}},$$

式中 ΔE_s ——在 U_2 电压級上开动时旋转电动势的增量，那末在第二轉換級上电流仍保持 I_{max} 的数值。当 $\tau < -\frac{\Delta E_s}{I_{max}}$ 时就有某些电流的冲击，但不会超过 I_{max} ，因为电流仅在 $\tau = 0$ 时才能达到 I_{max} 。当 $\tau > -\frac{\Delta E_s}{I_{max}}$ 时，在轉換級上电流就減少而低於 I_{max} 。因此为了保証使轉換时电流不減少和牵引力不降低，就必须使

$$\tau \leq \frac{\Delta E_s}{I_{min}}.$$

从圖 403 中可以很清楚地看出，不同分級的 ΔE_s 是各不同的，因而 τ 的数值应根据最小的 ΔE_s 值来选择。

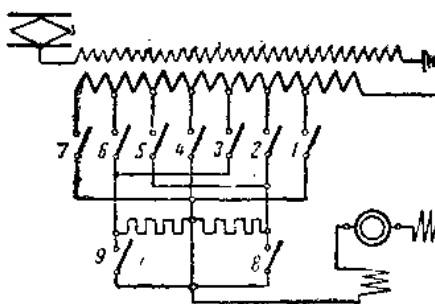
圖 403 是具有轉換电阻的摩托車轉線路圖。线路的工作可由接触器閉合表來說明。

电阻的轉換也可应用在具有支架式分級轉換开关（有滑动接触）的特殊控制系统中。在这种系統中当从变压器的一級轉換到另一級时电流的开断是用特殊的接触器系統来进行的，而这些接触器为了电流的开断裝有灭弧箱和电磁灭弧装置。由於这些，变压器的分級轉換工作就可以用沒有灭弧设备的接触器或者是用最简单的操作器械如具有滑动接触的支架式轉換开关来完成。

圖 404 就是具有支架式轉換开关的简化線路圖。

支架式轉換开关是由一系列的接触片 1 和两个电刷組成，接触片是和变压器次級繞組的出头相联，而两个电刷就是：根据長时期通过电流而設計的很寬的主电刷 2 和輔助电刷 3。借螺桿 4 电刷可沿着接触片移动而使电动机和变压器不同出头相联接。电刷是在沒有电流之下与接触片相触或离开的，而电流的切断或接通则是用两个接触器 7 和 8 来执行，这两个接触器接在每个电刷的电路內，并且受到裝在电刷进給螺桿一端的凸輪的机械作用。器械的动作應設計成这样：使任何一个电刷的电路都要在电刷接触到下一个接触片以后才用相应的接触器来接通，相反地要在它离开接触片之前用接触器將电路打开。

当由一級轉換到另一級时，最初由輔助电刷 3 和下一个接触片接触，然后，接触器 7 闭合，同时变压器的一个分段就並联一个电阻 τ 。然后，主电刷电路內的接触器 8 被打开，在这以后电刷才离开前一个接触片。此时电动机已經接到变压器



變压器級	接 触 器								
	1	2	3	4	5	6	7	8	9
1	1	—	—	—	—	—	—	—	—
2	—	2	—	—	—	—	—	8	—
3	—	—	3	—	—	—	—	—	9
4	—	—	—	4	—	—	—	—	—
5	—	—	—	—	5	—	—	8	—
6	—	—	—	—	—	6	—	—	9
7	—	—	—	—	—	—	7	—	—

圖 403